数パルスアト秒パルス列照射による 水素分子イオンのサブ 10fs 解離経路制御

Sub-10 fs dissociation pathway control of H₂⁺ molecule using a-few-pulse attosecond pulse train with Tannor-Kosloff-Rice scheme 古川裕介 ^{「,2}、沖野友哉 ¹、○ 鍋川康夫 ¹、アマニ・イランル ¹、高橋栄治 ¹

山内薫 ³、緑川克美 ¹(1. 理研光量子、2. 電通大、3. 東大院理) Yusuke Furukawa^{1,2}, Tomoya Okino¹, ^OYasuo Nabekawa¹, A. Amani Eilanlou¹, Eiji J. Takahashi¹, Kaoru Yamanouchi³, Katsumi Midorikawa¹, (1. RIKEN, 2.UEC, 3. U. Tokyo) E-mail: nabekawa@riken.jp

我々はチタンサファイアレーザー(パルス幅約 14fs, パルスエネルギー約 20mJ)の基本波から 19 次高調波で構成される "a-few-pulse" アト秒パルス列 (APT) を用いた pump-probe 型の測定方法 によって、水素/重水素イオン (H_2^+/D_2^+) の振動波束の実時間測定 1 、及び N_2/N_2^+ の振動・電子ハイ ブリッド波束の実時間測定に成功している²。水素イオンの実験系では、pump APT に含まれる 11 次以上の高次高調波成分によって H_2 をイオン化し、 $1s\sigma_g$ 状態の核波束振動を最初に生成した。遅 延τの後に probe APT を照射する事でこれを解離させ、解離した H+ イオンの運動エネルギースペ クトル (=開放運動エネルギー (KER)/2) を測定する事により、解離イオン生成量の遅延-KER2 次元 スペクトルグラムを得ることができた 1 。これまでの実験では、第1励起状態である $2p\sigma_u$ に於い て解離した H⁺ イオンしか観測できなかったが、APT 強度の増大を図った結果、第2励起状態で ある $2p\pi_u$ に於いて解離した解離した H^+ イオンを観測出来る様になった。

本講演では、 $2p\sigma_u$ と $2p\pi_u$ の 2 つの解離状態に於ける H^+ イオンの生成比を、照射する APT 遅 延のタイミングによって制御 (Tannor-Kosloff-Rice scheme) した結果を報告する。実験系のエネル

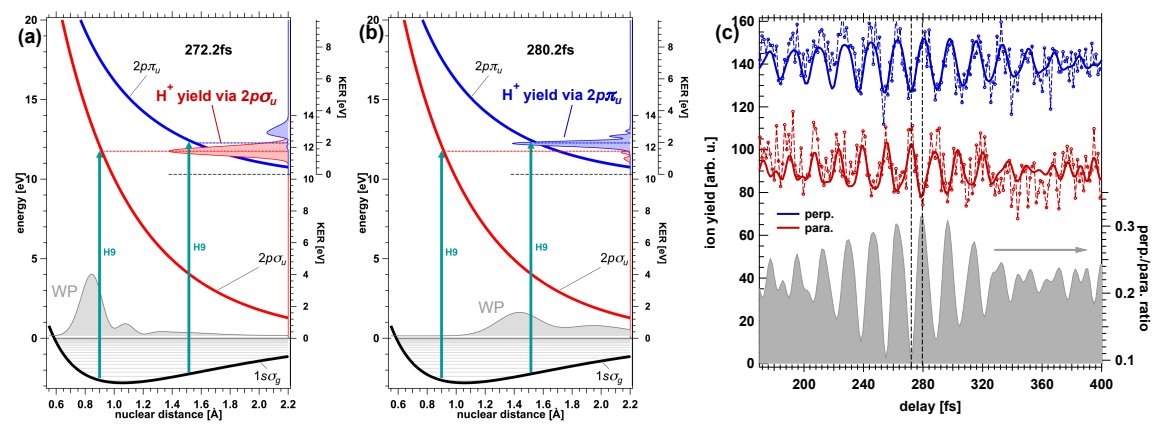


Fig. 1. (a) Dissociation pathway via $2p\sigma_u$ state with the resonant excitation of vibrational wavepacket (VWP) at the left turning point by absorbing a photon of the 9th harmonic field. (b) Dissociation pathway via $2p\pi_u$ state with the resonant excitation of VWP at the right turning point by absorbing a photon of the 9th harmonic field. (c) Experimental traces of H⁺ yield for parallel (red curve) and perpendicular (blue curve) components (against the APT polarization direction) with scanning delay. We have applied a low pass filter to raw data to obtain these two traces. Branching ratio is depicted as a shaded area.

ギーダイアグラムと制御の原理を Figs.1(a),(b) に示す。H+ 振動波束の再生時刻 (約 280fs) の近く に於いて振動波束が最も原点に近づいた時に APT を照射すると APT に含まれる 9次高調波成分 の光子エネルギーが $1s\sigma_g-2p\sigma_u$ のエネルギー差に近いため、 $2p\sigma_u$ による解離 H^+ イオンがより多 く生成される (Fig.1(a))。一方、振動波束が最も原点から離れた時に APT を照射すると $1s\sigma_g$ $-2p\pi_u$ のエネルギー差が 9 次高調波成分の光子エネルギーに近くなるので、 $2p\pi_u$ による解離 H^+ イオンがより多く生成される (Fig.1(b))。実験に於いては H^+ イオンの測定に速度マップ画像 (VMI) 型のイオン分光装置を用いている。これにより、 $2p\sigma_u$ 起源の H^+ イオンは APT の偏光方向に偏って観測され (para. 成分, 生成量 I_{\parallel})、 $2p\pi_u$ 起源の H^+ イオンは偏光方向に対して垂直方向に偏って観測 される (perp. 成分, 生成量 I_{\perp}) ので、これらを区別することができる。Fig.1(c) に遅延時間 280fs 近 辺で遅延を掃引した時の、 I_{\parallel} (赤線)、 I_{\perp} (青線)、及び分岐比 $(I_{\perp} - I_{\parallel})/(I_{\perp} + I_{\parallel})$ (灰色ハッチ部分) を示 す。分岐比は遅延時刻 272fs から 280fs の間で約 20%の変調を受けており、これは 8fs の遅延時間 差によって解離経路分岐比を切り替えた事に相当している。

references

- 1. Y. Furukawa, et al. Opt. Lett. 37, 2922 (2012); Y. Nabekawa, et. al. Sci. Rep. 5, 11366 (2015); Y. Nabekawa, et al. Nat. Commun. 6, 8197 (2015).
- 2. T. Okino, et al. Sci. Adv. 1, e1500356 (2015).